

华中科技大学

2019

计算机组成原理

课程设计报告

题目：5 段流水 CPU 设计

专业：计算机科学与技术

班级：CS1601

学号：U201614532

姓名：吕鹏泽

电话：18703816020

邮件：103349015@qq.com

华中科技大学课程设计报告

目 录

1	课程设计概述.....	3
1.1	课设目的	3
1.2	设计任务	3
1.3	设计要求	3
1.4	技术指标	4
2	总体方案设计.....	6
2.1	单周期 CPU 设计	6
2.2	中断机制设计.....	11
2.3	流水 CPU 设计.....	12
2.4	气泡式流水线设计.....	13
2.5	重定向流水线设计.....	14
2.6	动态分支预测机制.....	14
3	详细设计与实现.....	16
3.1	单周期 CPU 实现	16
3.2	中断机制实现.....	27
3.3	流水 CPU 实现.....	30
3.4	气泡式流水线实现.....	31
3.5	重定向流水线实现.....	33
3.6	动态分支预测机制实现	36
4	实验过程与调试.....	37
4.1	测试用例和功能测试.....	37
4.2	性能分析	40
4.3	主要故障与调试.....	41
4.4	实验进度	44

华中科技大学课程设计报告

5 设计总结与心得	45
5.1 课设总结	45
5.2 课设心得	45
参考文献.....	47

1 课程设计概述

1.1 课设目的

计算机组成原理是计算机专业的核心基础课。该课程力图以“培养学生现代计算机系统设计能力”为目标，贯彻“强调软/硬件关联与协同、以 CPU 设计为核心/层次化系统设计的组织思路，有效地增强对学生的计算机系统设计及实现能力的培养”。课程设计是完成该课程并进行了多个单元实验后，综合利用所学的理论知识，并结合在单元实验中所积累的计算机部件设计和调试方法，设计出一台具有一定规模的指令系统的简单计算机系统。所设计的系统能在 LOGISIM 仿真平台和 FPGA 实验平台上正确运行，通过检查程序结果的正确性来判断所设计计算机系统正确性。

课程设计属于设计型实验，不仅锻炼学生简单计算机系统的设计能力，而且通过进行中央处理器底层电路的实现、故障分析与定位、系统调试等环节的综合锻炼，进一步提高学生分析和解决问题的能力。

1.2 设计任务

本课程设计的总体目标是利用 FPGA 以及相关外围器件，设计五段流水 CPU，要求所设计的流水 CPU 系统能支持自动和单步运行方式，能正确地执行存放在主存中的程序的功能，对主要的数据流和控制流通过 LED、数码管等适时的进行显示，方便监控和调试。尽可能利用 EDA 软件或仿真软件对模型机系统中各部件进行仿真分析和功能验证。在学有余力的前提下，可进一步扩展相关功能。

1.3 设计要求

- (1) 根据课程设计指导书的要求，制定出设计方案；
- (2) 分析指令系统格式，指令系统功能。
- (3) 根据指令系统构建基本功能部件，主要数据通路。
- (4) 根据功能部件及数据通路连接，分析所需要的控制信号以及这些控制信号的有效形式；

华中科技大学课程设计报告

- (5) 设计出实现指令功能的硬布线控制器；
- (6) 调试、数据分析、验收检查；
- (7) 课程设计报告和总结。

1.4 技术指标

- (8) 支持表 1-1 前 27 条基本 32 位 MIPS 指令；
- (9) 支持教师指定的 4 条扩展指令；
- (10) 支持多级嵌套中断，利用中断触发扩展指令集测试程序；
- (11) 支持 5 段流水机制，可处理数据冒险，结构冒险，分支冒险；
- (12) 能运行由自己所设计的指令系统构成的一段测试程序，测试程序应能涵盖所有指令，程序执行功能正确。
- (13) 能运行教师提供的标准测试程序，并自动统计执行周期数
- (14) 能自动统计各类分支指令数目，如不同种类指令的条数、冒险冲突次数、插入气泡数目、load-use 冲突次数、动态分支预测流水线能自动统计预测成功与失败次数。

表 1-1 指令集

#	指令助记符	简单功能描述	备注
1	ADD	加法	指令格式参考 MIPS32 指令集，最终功能以 MARS 模拟器为准。
2	ADDI	立即数加	
3	ADDIU	无符号立即数加	
4	ADDU	无符号数加	
5	AND	与	
6	ANDI	立即数与	
7	SLL	逻辑左移	
8	SRA	算数右移	
9	SRL	逻辑右移	
10	SUB	减	
11	OR	或	
12	ORI	立即数或	

华中科技大学课程设计报告

#	指令助记符	简单功能描述	备注
13	NOR	或非	
14	LW	加载字	
15	SW	存字	
16	BEQ	相等跳转	
17	BNE	不相等跳转	
18	SLT	小于置数	
19	STI	小于立即数置数	
20	SLTU	小于无符号数置数	
21	J	无条件转移	
22	JAL	转移并链接	
23	JR	转移到指定寄存器	
24	SYSCALL	系统调用	
25	MFC0	访问 CP0	If \$v0==10 halt(停机指令)
26	MTC0	访问 CP0	else 数码管显示\$a0 值
27	ERET	中断返回	中断相关，可简化，选做
28	XOR	异或	异常返回，选做
29	LUI	置寄存器高半字	
30	LH	加载半字	
31	BLTZ	小于跳转	

2 总体方案设计

2.1 单周期 CPU 设计

在单周期设计中，采用的方案是硬布线控制，为避免部件冲突，采用指令存储器和数据存储器分离的哈佛结构。该 CPU 支持如表 1-1 所示的 24 条基本指令、4 条拓展 CCMB 指令。包括 add, addi, addiu, addu, and, andi, sll, sra, srl, sub, or, ori, nor, lw, sw, beq, bne, slt, slti, sltu, j, jal, jr, syscall, xor, lui, lh, bltz。在实施的过程中，采用 logism 完成电路的硬件搭建，然后在 FPGA 平台完成 28 条单周期 MIPS CPU 的上板验证。

总体结构图如图 2-1 所示。

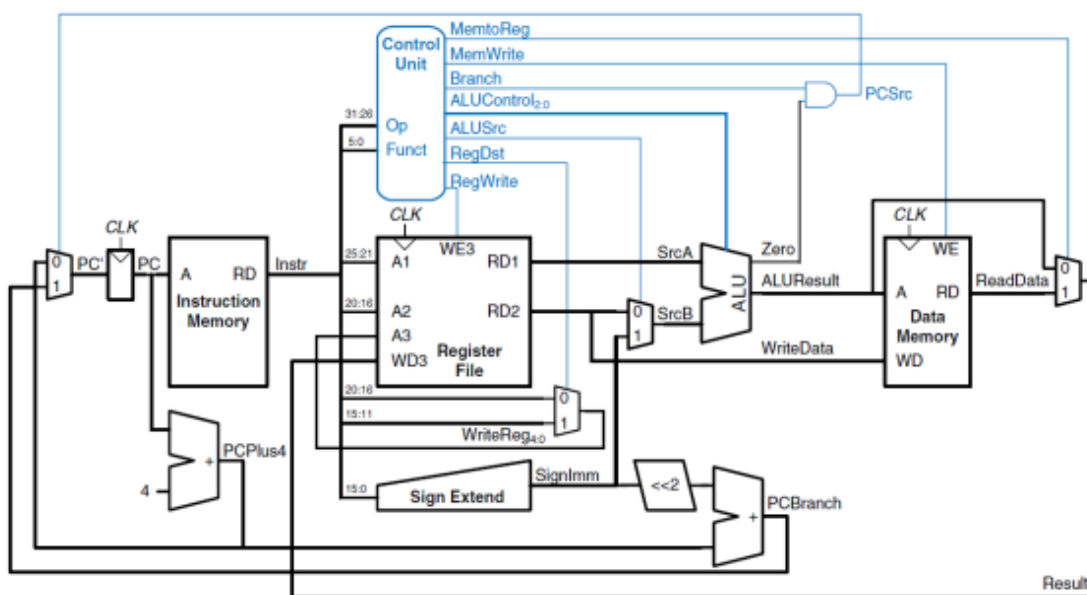


图 2-1 总体结构图

2.1.1 主要功能部件

根据 CPU 的组成结构，CPU 应当划分为程序计数器 PC、指令存储器 IM、运算器 ALU、寄存器堆 RE、数据存储器 DM 几部分。

1) 程序计数器 PC

对于单周期 CPU 来说，每当时钟周期到来时，PC 计数器的值要“+1”，然后以 PC 为地址访问指令存储器，获得将要执行的指令。因此取指令操作涉及 PC、加法器和指令存储器。其中 PC 可以使用 32 位寄存器来实现，“+1”操作使用加法器组件实现，

华中科技大学课程设计报告

考虑到在 Logism 中 32 位的存储器是按照字进行编址的，因此 PC 每次加 1（若是按照字节编址，则 PC 每次加 4）。

2) 指令存储器 IM

在 Logism 中，指令存储器采用 rom 实现，输入为 10 位的指令地址，输出为 32 位的指令。在使用 verilog 进行设计时，指令存储器使用 1024 个 32 位的 reg 实现。

3) 运算器 ALU

运算器 ALU 是 CPU 的核心部件，完成操作数的算术和逻辑运算，输入与输出端描述如表 2-1 所示，X、Y 是从寄存器文件或位拓展器读入的数据，Result、Result2 是运算结果输出端口，ALU_OP 是运算功能码，其输入值与对应的功能如表 2-2 所示。

表 2-1 算术逻辑运算单元引脚与功能描述

引脚	输入/输出	位宽	功能描述
X	输入	32	操作数 X
Y	输入	32	操作数 Y
ALU_OP	输入	4	运算器功能码，具体功能见下表
Shamt	输入	5	移位指令移动的位数
Result	输出	32	ALU 运算结果
Result2	输出	32	ALU 结果第二部分，用于乘法指令结果高位或除法指令的余数位，其他操作为零
OF	输出	1	有符号加减溢出标记，其他操作为零
UOF	输出	1	无符号加减溢出标记，其他操作为零
Equal	输出	1	Equal=(x==y)?1:0, 对所有操作有效

表 2-2 ALU_OP 功能说明

ALU_OP	十进制	运算功能
0000	0	Result = Y << shamt 逻辑左移 Result2=0
0001	1	Result = Y >>>shamt 算术右移 Result2=0
0010	2	Result = Y >> shamt 逻辑右移 Result2=0
0011	3	Result = (X * Y)[31:0]; Result2 = (X * Y)[63:32] 无符号乘法
0100	4	Result = X/Y; Result2 = X%Y 无符号除法

华中科技大学课程设计报告

0101	5	Result = X + Y (Set OF/UOF)
0110	6	Result = X - Y (Set OF/UOF)
0111	7	Result = X & Y 按位与
1000	8	Result = X Y 按位或
1001	9	Result = X ⊕ Y 按位异或
1010	10	Result = ~(X Y) 按位或非
1011	11	Result = (X < Y) ? 1 : 0 符号比较
1100	12	Result = (X < Y) ? 1 : 0 无符号比较

4) 寄存器堆 RF

在 Logism 平台，寄存器文件直接使用 cs3410 库提供的寄存器文件。在 verilog 中，需要使用 31 个 32 位的寄存器来替代。需要注意的是，0 号寄存器恒为 0，因此对于 0 号寄存器的读写需要特殊处理。

5) 数据存储器 DM

与指令存储器类似，在 Logism 中，数据存储器采用 ram 实现，输入为 10 位的数据地址，输出为 32 位的数据。在使用 verilog 进行设计时，指令存储器使用 1024 个 32 位的 reg 实现，而且需要增加写使能控制信号。对于需要实现 SB 指令的组员，还要增加片选信号控制写入。

2.1.2 数据通路的设计

逐条分析每一条指令的功能，根据指令功能完成指令系统数据通路框架，分析结果如表 2-3 所示。Imm 表示由立即数拓展的 32 位立即数。

表 2-3 指令系统数据通路框架

指令	PC	IM	RF				ALU			DM		Tube
			R1#	R2#	W#	Din	A	B	OP	Addr	Din	
ADD	PC+4	PC	IM	IM	IM	ALU	R1	R2	0101	/	/	/
ADDI	PC+4	PC	IM	Imm	IM	ALU	R1	IM	0101	/	/	/
ADDIU	PC+4	PC	IM	Imm	IM	ALU	R1	IM	0101	/	/	/
ADDU	PC+4	PC	IM	IM	IM	ALU	R1	R2	0101	/	/	/

华中科技大学课程设计报告

指令	PC	IM	RF				ALU			DM		Tube
			R1#	R2#	W#	Din	A	B	OP	Addr	Din	
AND	PC+4	PC	IM	IM	IM	ALU	R1	R2	0111	/	/	/
ANDI	PC+4	PC	IM	Imm	IM	ALU	R1	IM	0111	/	/	/
SLL	PC+4	PC	IM	IM	IM	ALU	/	IM	0000	/	/	/
SRA	PC+4	PC	IM	IM	IM	ALU	/	IM	0001	/	/	/
SRL	PC+4	PC	IM	IM	IM	ALU	/	IM	0010	/	/	/
SUB	PC+4	PC	IM	IM	IM	ALU	R1	R2	0110	/	/	/
OR	PC+4	PC	IM	IM	IM	ALU	R1	R2	1000	/	/	/
ORI	PC+4	PC	IM	Imm	IM	ALU	R1	IM	1000	/	/	/
NOR	PC+4	PC	IM	IM	IM	ALU	R1	R2	1010	/	/	/
LW	PC+4	PC	IM	Imm	IM	DM	R1	IM	0101	ALU	/	/
SW	PC+4	PC	IM	Imm	IM	/	R1	IM	0101	ALU	R2	/
BEQ	RF	PC	IM	IM	/	ALU	R1	R2	/	/	/	/
BNE	RF	PC	IM	IM	/	ALU	R1	R2	/	/	/	/
SLT	PC+4	PC	IM	IM	IM	ALU	R1	R2	1011	/	/	/
SLTI	PC+4	PC	IM	Imm	IM	ALU	R1	IM	1011	/	/	/
SLTU	PC+4	PC	IM	IM	IM	ALU	R1	R2	1100	/	/	/
J	IM	PC	/	/	/	/	/	/	/	/	/	/
JAL	IM	PC	/	/	\$31	PC+4	/	/	0101	/	/	/
JR	RF	PC	IM	/	IM	/	/	/	/	/	/	/
SYSCALL	PC+4	PC	\$v0	\$a0	IM	/	/	/	/	/	/	R1,R2
XOR	PC+4	PC	IM	IM	IM	ALU	R1	R2	1001	/	/	/
LUI	PC+4	PC	IM	/	IM	ALU	R1	/	/	/	/	IM
LH	PC+4	PC	IM	Imm	IM	DM	R1	IM	0101	ALU	/	/
BLTZ	RF	PC	IM	IM	/	ALU	R1	R2	1011	/	/	/

2.1.3 控制器的设计

首先对于控制信号进行统计，包括各个主要部件所需要输入的控制信号，以及数

华中科技大学课程设计报告

据通路合并表中所示的具有多输入的主要部件需要进行输入选择的控制信号，并且对各个统计信号的各种取值情况进行定义，统计得到的控制信号以及说明如表 2-4。

表 2-4 主控制器控制信号的作用说明

#	控制信号	信号说明	产生条件（信号为 1）
1	RegWrite	寄存器写使能	寄存器写回信号
2	MemWrite	写内存控制信号	sw 指令 未单独设置 MemRead 信号
3	AluOP	运算器操作控制符（4 位）	R 型指令根据 Func 选择
4	MemToReg	寄存器写入数据来自存储器	lw 指令
5	RegDst	写入寄存器编号 rt/rd 选择	R 型指令
6	AluSrcB	运算器 B 输入选择	lw 指令，sw 指令，立即数运算类指令
7	SignedExt	立即数符号扩展	ADDI、ADDIU、SLTI 指令
8	JR	寄存器跳转指令译码信号	JR 指令
9	JAL	JAL 指令译码信号	JAL 指令，选择寄存器写回编号，写回值
11	JMP	无条件分支控制信号	J、JAL、JR 指令，选择无条件分支地址
12	Beq	Beq 指令译码信号	Beq 指令，用于有条件分支控制
13	Bne	Bne 指令译码信号	Bne 指令，用于有条件分支控制
14	Syscall	Syscall 指令译码信号	根据\$V0 寄存器的值，决定是停机还是输出
15	LUI	LUI 指令译码信号	LUI 指令
16	LH	LH 指令译码信号	LH 指令
17	BLTZ	BLTZ 指令译码信号	BLTZ 指令，用于有条件分支控制

对照所有控制信号，依次分析各条指令，分析该指令执行过程中需要哪些控制信号，对于与本条指令无关的控制信号，控制信号的取值一律为 0，以简化控制器电路的设计。该控制信号表的框架如其中后三个信号是 4 条拓展指令的控制信号，其余的是 24 条基本指令的控制信号。

表 2-5 所示。其中后三个信号是 4 条拓展指令的控制信号，其余的是 24 条基本指令的控制信号。

表 2-5 主控制器控制信号框架

ALU_OP	MemtoReg	MemWrite	ALU_SRC	RegWrite	SYS CALL	SignedExt	RegDst	BEQ	BNE	JR	JMP	JAL	LUI	LH	BLTZ
--------	----------	----------	---------	----------	----------	-----------	--------	-----	-----	----	-----	-----	-----	----	------

2.2 中断机制设计

2.2.1 总体设计

中断的处理过程可以分为中断识别、中断响应、中断服务、中断返回四部分。首先是中断识别，采用独立请求的方式，来自中断请求寄存器(IR)的多个中断请求信号接入优先编码器，优先编码器根据响应优先级生成中断号，完成中断识别，并将优先编码器所有 IR 输入信号逻辑或后得到中断请求信号，与中断使能寄存器(IE)逻辑与后送 CPU，CPU 根据此信号判断是否进入中断处理流程。中断响应部分是当 CPU 收到中断信号后，暂停当前程序的执行，执行中断隐指令，包括关中断、当前的 PC 值送 EPC 保护，中断向量送 PC。中断服务由是处理中断的程序，由软件完成。中断返回由 `eret` 指令控制，恢复发生中断的那一条指令处继续执行。对于多级中断来说，还需要增加中断 `MFC0` 和 `MTC0` 指令以及中断嵌套的硬件逻辑电路。

2.2.2 硬件设计

硬件需要完成中断识别、中断响应、中断返回三个过程。实验中采取独立请求的方式进行中断识别，来自中断请求寄存器(IR)的多个中断请求信号接入优先编码器，优先编码器根据响应优先级生成中断号，完成中断识别，并将优先编码器所有 IR 输入信号逻辑或后得到中断请求信号，与中断使能寄存器(IE)逻辑与后送 CPU，CPU 根据此信号判断是否进入中断处理流程。CPU 在收到中断请求信号后进入中断响应阶段，需要执行关中断、保存当前 PC 值到 EPC 寄存器，并将中断号对应的中断向量送 PC，进入中断服务过程。在收到 `eret` 信号后，需要重新开中断，并将 EPC 的值送 PC 回到中断点继续执行。

对于多级中断，需要增加中断优先级判断逻辑来确定是否可以中断嵌套，可以增加寄存器来保存当前正在执行的中断的优先级，并增加比较器来比较优先级判断是否可以中断嵌套。此外还要增加 `MFC0` 和 `MTC0` 指令来保护 EPC 的值。

对于流水中断，为简化设计，选择在 WB 阶段进行中断处理，逻辑与单级中断相同，不过在中断产生和中断返回时需要清空流水线。

2.2.3 软件设计

首先需要确定中断服务程序的入口地址，为简化电路设计，在程序编写完毕后通

华中科技大学课程设计报告

过 MARS 获取三个中断服务程序的入口地址，并由中断号来选择中断服务程序。由于中断服务程序会破坏中断点的寄存器的值，因此中断服务程序需要执行保护现场的操作，将程序中使用到的寄存器压栈保护，并且在退出中断服务程序前恢复现场。

需要注意的是，在多级中断中由于会发生中断嵌套，EPC 的值也需要保存，避免更高级的中断破坏低级中断的 EPC。EPC 的值的保存由软件完成，首先使用 MFC0 指令获取 EPC 的值到某一寄存器中，然后保护该寄存器的值，在退出中断时使用 MTC0 指令恢复 EPC 的值。

2.3 流水 CPU 设计

2.3.1 总体设计

根据指令的执行过程，指令可以分为以下 5 个阶段：取指令(IF)、译码(ID)、执行(EX)、访存(MEM)、写回(WB)。本次实验实现的流水线 CPU 在于将这 5 个阶段分离，每个阶段执行一条指令，实现时间重叠来提高 CPU 的运算速度。为了保存指令的运算结果，每个阶段后面都需要增加一个流水接口部件，用于锁存本阶段处理完成的数据结果，以保证下一阶段的使用。

2.3.2 流水接口部件设计

每一个流水接口应该包含时钟输入、使能端、同步清零端、数据输入端以及数据输出端。根据流水接口部件位置的不同数据输入端以及数据输出端的数量可能不同。流水接口应该完成如下的功能：在时钟上升沿，如果清零信号为 1，则清空流水寄存器。否则如果使能信号为 1，则使用输入端口的值更新流水寄存器，如果使能信号为 0，则保持流水寄存器的值不变。在实验中为了便于调试，每一个流水接口部件都增加了 PC 和 Instruction 接口。

2.3.3 理想流水线设计

完成了流水接口部件，为了方便电路的连接，决定在 28 条指令 CPU 的基础上重绘数据通路。首先，对较大的部件进行再封装，以减少原理图中的连线。其次，为了方便控制信号的传输，将所有控制信号使用分线器统合为一根线，在使用时再通过分线器分离出来。最后，将对应的信号连接到流水接口部件对应的输入端，在使用信号

时从流水接口部件的输出端引出，注意不能从译码阶段引出。此外，Syscall 指令需要在 WB 阶段执行。

2.4 气泡式流水线设计

2.4.1 总体设计

由于指令是并行执行的，因此指令间会存在数据冲突，一种解决冲突的方法就是在指令间插入气泡，直到冲突消失。气泡流水线在理想流水线上增加了逻辑电路进行数据冲突检测电路，如果发现数据冲突则通过硬件插入气泡的方式消除数据冲突，此外，由于 ID 阶段需要取操作数，所以冲突检测逻辑电路需要设置在 ID 段，气泡是通过流水接口部件的使能端和重置端来产生的。最后，WB 阶段的 RAW 数据相关冲突可以设置寄存器文件下降沿更新的方式来解决。

2.4.2 数据相关检测设计

数据相关逻辑电路的输入信号是 ID 阶段的指令、ID 阶段使用到的寄存器以及 EX、MEM 阶段的写寄存器编号和写寄存器信号，输出信号是发生数据相关。数据相关的检测逻辑是：1.ID 阶段使用的寄存器编号和 EX 阶段写寄存编号相同并且 EX 阶段写信号为 1，则存在数据相关。2.ID 阶段使用的寄存器编号和 MEM 阶段写寄存编号相同并且 MEM 阶段写信号为 1，则存在数据相关。由于 0 号寄存器的值恒为 0，因此 0 号寄存器不会产生数据相关冲突，需要特殊处理。

2.4.3 气泡流水线设计

完成了数据相关检测电路后，如果数据相关信号为 1，则在电路中添加气泡，气泡的产生逻辑是：置 IF/ID 流水接口部件的使能端为 0，同步清空 ID/EX 流水接口部件。经过一个时钟周期后，EX 阶段就会插入一个气泡。由于指令的执行过程中会存在气泡，因此运行的 benchmark 程序的周期数会有所增加，具体的计算规则是：
总周期数=指令条数+(流水充满时间-1)+(分支跳转次数)*预取深度+数据相关气泡数。

2.5 重定向流水线设计

2.5.1 总体设计

除了插入气泡，另一种解决冲突的方式是 Forward 技术，即增加额外的数据通路将 MEM、WB 阶段的数据重定向到 EX 阶段。在本实验中，重定向的数据来源有 4 种：EX 的寄存器文件输出、WB 阶段的 RAM 输出、WB 阶段的 ALU 输出、MEM 阶段的 ALU 输出，均有可能重定向到 EX 阶段的寄存器 R1 或 R2 的位置。因此需要增加重定向检测逻辑电路来判断使用哪一路的数据。与数据相关检测类似，重定向检测也要设置在 ID 阶段，不过由于重定向过程发生在 EX 阶段，因此需要将重定向信号通过流水接口部件传输到 EX 阶段。

2.5.2 重定向检测电路设计

与气泡流水线的数据相关检测电路类似，重定向检测电路的输入信号是 ID 阶段的指令、ID 阶段使用到的寄存器以及 EX、MEM 阶段的写寄存器编号和写寄存器信号，输出信号是重定向通路的选择信号。以重定向 MEM 阶段的 ALU 输出到 EX 阶段的 R1 为例，数据相关的检测逻辑是：ID 阶段的指令使用到了寄存器 R_#，EX 阶段的写寄存器编号为 R_#，写寄存器信号为 1，MemToReg 信号为 0，则在下一个时钟周期需要将 MEM 阶段的 ALU 运算结果重定向到 EX 阶段的 R1 的位置。

2.5.3 重定向流水线设计

在 ID/EX 流水接口部件的 R1、R2 处使用 4 选 1 的多路选择器的输出替换原来的 R1、R2，多路选择器的控制信号有重定向检测电路产生，以 R1 为例，多路选择器的输入有：ID/EX.R1, WB.Mem, WB.AluR, Mem.AluR。需要特别注意的是，重定向的选择控制信号产生在 ID 阶段，而使用则发生在 EX 阶段，因此需要通过流水接口部件进行传输。

2.6 动态分支预测机制

动态分支预测机制的核心是实现 BHT，本质上就是一个 Cache，可以利用组成原理实验中实现的 Cache。经过分析，得到 BHT 的格式如表 2-6 所示，有 8 个表项。其中有效位用于标记表现是否有效，分支指令地址是关键字，用于在 BHT 种作全相

华中科技大学课程设计报告

连比较，分支目标地址作为 Cache 的输出，置换标记用于 LRU 算法进行替换。

表 2-6 BHT 格式

Valid	分支指令地址	分支目标地址	LRU 置换标记
1/0	xxx	xxx	xxx

在实现时 BHT 放在取指令阶段，利用 PC 的值作为关键字进行全相连比较，如果 BHT 命中，则表明当前指令是一条分支跳转指令，选择该表项中的分支目标地址作为新的 PC 值。当该指令执行到 EX 段时，判断是否预测正确，如果正确则继续执行，如果预测失败，则应该清空预取的指令。动态分支预测的流程图如图 2-2 所示：

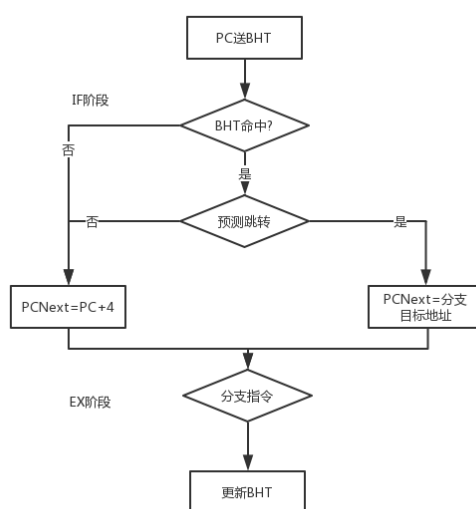


图 2-2 动态分支预测流程

3 详细设计与实现

指令周期流程图要在此部分出现、微程序流程图、微指令代码表、实验接线图等均需要在适当的位置和模块中表达出来。本章具体实现细节尽量多用图表方式展示，但要做到图文并茂，不能全文都是图。

3.1 单周期 CPU 实现

3.1.1 主要功能部件实现

1) 程序计数器（PC）

① Logism 实现：

使用一个 32 位寄存器实现程序计数器 PC，触发方式为上升沿触发，输入为下一条将要执行的指令的地址，输出为当前执行指令的地址。Halt 为停机信号，接到寄存器的使能端，当 Halt 为 0 时表示停机，此时 PC 寄存器保存原有值不变。Rst 为清零信号，用于重置电路。Logism 实现如图 3-1 所示。

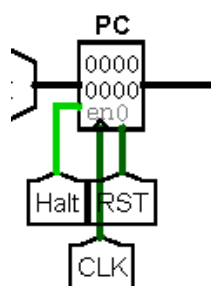


图 3-1 程序计数器（PC）

② FPGA 实现：

程序计数器 PC 的 Verilog 代码如下：

```
module Register(Clk,Rst,Data,En,Out);  
    parameter N=32;  
    input [N-1:0] Data;  
    input En,Clk,Rst;  
    output reg [N-1:0] Out=0;
```

```

always@(posedge Clk, posedge Rst) begin
    if(Rst==1) Out=0;
    else if(En==1) Out=Data;
end
endmodule
    
```

2) 指令存储器 (IM)

① Logism 实现:

使用一个只读存储器 ROM 实现指令存储器 (IM)。设置该只读存储器的地址位宽为 10 位，数据位宽为 32 位。因为 PC 中存储的指令地址有 32 位，而 ROM 地址线宽度有限，仅为 10 位，故将 32 位指令地址高位部分和字节偏移部分直接屏蔽，使用分线器只取 32 位指令地址的 0-9 位作为指令存储器的输入地址。如图 3-2 所示。

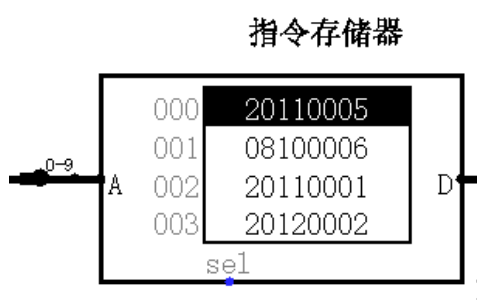


图 3-2 指令存储器 (IM)

② FPGA 实现:

在使用 verilog 语言设计时，指令存储器使用 1024 个 32 位的 reg 实现，并且需要使用 Initial 语句加载 benchmark 程序到 Rom 中。

指令存储器 IM 的 Verilog 代码如下：

```

module RomMxN(Clk,Addr,Data);
//地址线宽度为 M，数据宽度为 N
parameter N=32;
parameter M=10;
parameter T=2**M; //2 的 M 次方
input Clk;          //清空
input [M-1:0] Addr; //地址
    
```

华中科技大学课程设计报告

```
output [N-1:0] Data;//数据

reg [N-1:0] mem [T-1:0];//T 个 N 位的存储器

initial    begin                // 初始化存储器
    $readmemh("C:/Users/10334/Desktop/MIPSCPU/benchmark.txt",mem);// 加载
路径
end

assign Data=mem[Addr];

endmodule
```

3) 运算器 ALU

① Logism 实现:

在 logisim 中, 运算器 ALU 通过各种逻辑运算和算术运算部件实现, 然后根据 AluOp 的值通过多路选择器选择运算结果。ALU 的实现如图 3-3 所示。其中 X 和 Y 是 32 位的输入数据, shamt 是移位指令的移动位数, S 是 AluOp, 结果通过多路选择器选择输出到 Result 和 Result2。

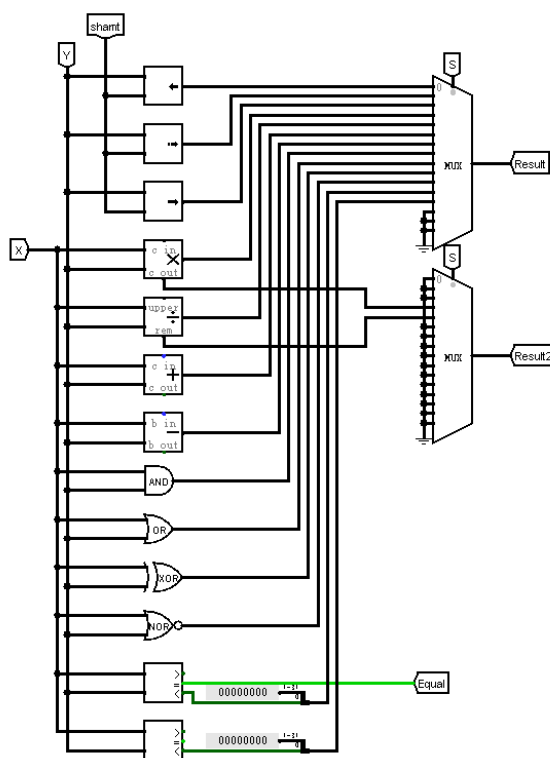


图 3-3 ALU 实现

华中科技大学课程设计报告

② FPGA 实现:

在 FPGA 中, 首先使用 assign 语句实现各个运算部件的, 以加法器为例, verilog 实现的语句是。

```
assign R=A+B;
```

然后在 always 语句中, 以 AluOp 为选择控制信号, 选择对应的结果到输出端。

ALU 主模块的 Verilog 代码如下:

```
module ALU(A,B,S,shamt,Equal,R,R1);
parameter N=32;
input [N-1:0] A,B;//输入端
input [3:0] S;//AluOp
input [4:0] shamt;//移位数
output Equal;//相等比较
output reg [N-1:0] R,R1;//输出端
wire [N-1:0] out[12:0];
wire [N-1:0] out1[1:0];
SLL t0(B,out[0],shamt);//左移
SRA t1(B,out[1],shamt);//算术右移
SRL t2(B,out[2],shamt);//逻辑右移
MulU t3(A,B,out[3],out1[0]);//无符号乘法
DivU t4(A,B,out[4],out1[1]);//无符号除法
Add t5(A,B,out[5]);//加法
Sub t6(A,B,out[6]);//减法
And_ t7(A,B,out[7]);//按位与
Or_ t8(A,B,out[8]);//按位或
Xor_ t9(A,B,out[9]);//按位异或
Nor_ t10(A,B,out[10]);//按位或非
SignedCmp t11(A,B,out[11]);//有符号比较
UnsignedCmp t12(A,B,out[12]);//无符号比较
initial begin
R<=0;R1<=0;
```

```
end
assign Equal=(A==B);
always @(*)
begin
    case(S)
        4'b0000:begin
            R<=out[0];
            R1<=32'bz;
        end
        4'b0001:begin
            R<=out[1];
            R1<=32'bz;
        end
        4'b0010:begin
            R<=out[2];
            R1<=32'bz;
        end
        4'b0011:begin
            R<=out[3];
            R1<=out1[0];
        end
        4'b0100:begin
            R<=out[4];
            R1<=out1[1];
        end
        4'b0101:begin
            R<=out[5];
            R1<=32'bz;
        end
        4'b0110:begin
```

华中科技大学课程设计报告

```
R<=out[6];
R1<=32'bz;
end
4'b0111:begin
R<=out[7];
R1<=32'bz;
end
4'b1000:begin
R<=out[8];
R1<=32'bz;
end
4'b1001:begin
R<=out[9];
R1<=32'bz;
end
4'b1010:begin
R<=out[10];
R1<=32'bz;
end
4'b1011:begin
R<=out[11];
R1<=32'bz;
end
4'b1100:begin
R<=out[12];
R1<=32'bz;
end
default:begin
R<=32'bz;R1<=32'bz;
end
```

```

endcase

end

endmodule
    
```

4) 寄存器堆 RF

① Logism 实现:

在 logism 中, 直接使用 cs3410 库中提供的寄存器文件即可, 为了简化电路, 对原部件进行封装, 封装后的结果如图 3-4 所示。R1#、R2#是寄存器的编号, R1、R2 是选择的寄存器的值, W#是写入寄存器编号, WE 是寄存器写信号, Din 是写入寄存器的数据, CLK 是时钟端。

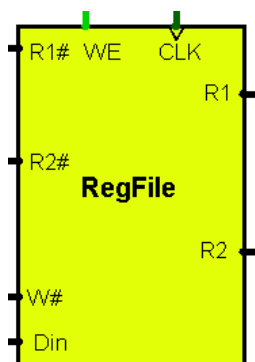


图 3-4 Logism 的 RF 实现

在 FPGA 平台, 使用 31 个 32 位的寄存器来替代, 此外 0 号寄存器需要特殊处理。

② FPGA 实现:

在 FPGA 平台, 使用 31 个 32 位的寄存器来替代, 此外 0 号寄存器需要特殊处理。RF 模块的 verilog 代码如下:

```

module RegFile(R1In,R2In,WE,WIn,Din,Clk,R1,R2);
    input WE,Clk;
    input [4:0]WIn,R1In,R2In;
    input [31:0]Din;
    output [31:0]R1,R2;
    reg [31:0]regFile[0:31];
    assign R1=(R1In==0) ? 0 : regFile[R1In];
    assign R2=(R2In==0) ? 0 : regFile[R2In];
    always @(posedge Clk)
    
```

```
begin
if(WE==1)
    regFile[WIn]=Din; //0 号寄存器只读
end
endmodule
```

5) 数据存储器 DM

① Logism 实现:

与指令存储器类似，在 Logism 中，数据存储器采用 ram 实现，输入为 10 位的数据地址，输出为 32 位的数据。实现的电路图如图 3-5 所示：

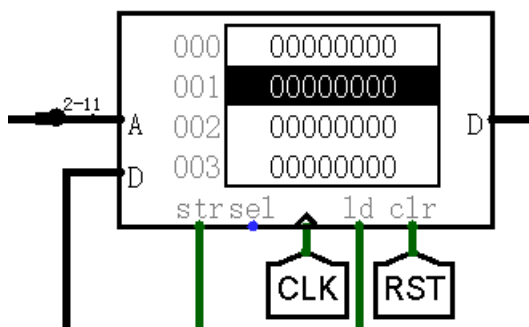


图 3-5 Logism 的 DM 实现

② FPGA 实现:

在使用 verilog 进行设计时，指令存储器使用 1024 个 32 位的 reg 实现，而且需要增加写使能控制信号。DM 模块的 verilog 代码如下：

```
module RamMxN(Rst,Clk,Str,Ld,Addr,DataIn,DataOut);
parameter N=32;
parameter M=10;
parameter T=2**M; //2 的 M 次方
input Clk;           //时钟
input Rst;           //清空
input Str;           //写信号
input Ld;            //读信号
input [M-1:0] Addr; //地址
input [N-1:0] DataIn; //输入数据
output [N-1:0] DataOut; //输出数据
```



```
reg [N-1:0] mem[T-1:0];
integer i;
assign DataOut=mem[Addr];
always @(posedge Clk, posedge Rst)
begin
    if (Rst)    //清空
    begin
        for(i=0;i<=T-1;i=i+1) //reset, 按字操作
            mem[i] <= 32'b0;
    end
    else if (Str) //写入
    begin
        mem[Addr] <= DataIn;
    end
end
endmodule
```

3.1.2 数据通路的实现

本次课程设计采用的工程化的设计模式，一次性构建所有的数据通路。主要实现方法为，对于每一条指令，将其改写成 RTL（Register Transfer Level），忽略控制类信号，仅保留数据类信号，根据 RTL 功能填写对应指令的数据通路表，描述五大部件之间的连接关系，记录各部件输入端数据来源。

根据总体方案设计中数据通路设计那一小节的详细内容，具体分析每一条指令在执行过程中各个主要部件的输入和输出端口的连接，完成指令系统数据通路表的填写，详细内容见表 2-3。

在完成指令系统数据通路表的填写之后，根据列出的数据通路表，进行多指令数据通路的合并输入数，表，将各个主要功能部件进行连接，根据数据通路合并表的最终结果，对于所有的多输入部件使用多路选择器进行输入选择。最终便可以完成数据通路的搭建。完成后的数据通路如图 3-6。

华中科技大学课程设计报告

表 3-1 主控制器控制信号

#	指令	OpCode (十进制)	FUNCT (十进制)	ALU_OP	MemToReg	MemWrite	ALU_SRC	RegWrite	SysCALL	SignedExt	RegDst	BEQ	BNE	JR	JMP	JAL	LUI	LH	BLTZ
1	SLL	0	0	0				1			1								
2	SRA	0	3	1				1			1								
3	SRL	0	2	2				1			1								
4	ADD	0	32	5				1			1								
5	ADDU	0	33	5				1			1								
6	SUB	0	34	6				1			1								
7	AND	0	36	7				1			1								
8	OR	0	37	8				1			1								
9	NOR	0	39	10				1			1								
10	SLT	0	42	11				1			1								
11	SLTU	0	43	12				1			1								
12	JR	0	8	X				1			1			1	1				
13	SYSCALL	0	12	X					1										
14	J	2	X	X											1				
15	JAL	3	X	X				1							1	1			
16	BEQ	4	X	X								1							
17	BNE	5	X	X									1						
18	ADDI	8	X	5			1	1		1									
19	ANDI	12	X	7			1	1											
20	ADDIU	9	X	5			1	1											
21	SLTI	10	X	11			1	1		1									
22	ORI	13	X	8			1	1											
23	LW	35	X	5	1		1	1											
24	SW	43	X	5		1	1												
25	XOR	0	38	9				1			1								
26	LUI	15	X	X				1									1		
27	LH	33	X	5	1		1	1										1	
28	BLTZ	1	X	11															1

实现后的 logism 的控制器模块如图 3-8 所示。

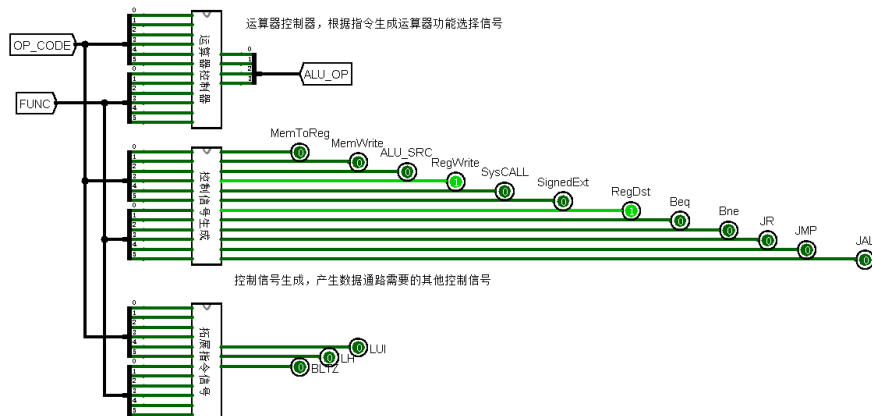


图 3-8 logism 控制器实现

② FPGA 实现

根据在 Logism 实现中得到的各个一位控制信号的表达式,直接使用数据流建模,使用 assign 分的 Verilog 代码过于冗长,故只取对于控制信号 MemToReg 的生成代码举例如下:

```
assign
MemToReg=(OP5)&(~OP4)&(~OP3)&(~OP2)&(OP1)&(OP0)|(OP5)&(~OP4)&(~OP3)&
(~OP2)&(~OP1)&(OP0);
```

以此类推,最终便可以实现整个主控制器中所有控制信号的生成。在 Vivado 中使用 Verilog 语言构成的主控制器原理图如图 3-9 所示。

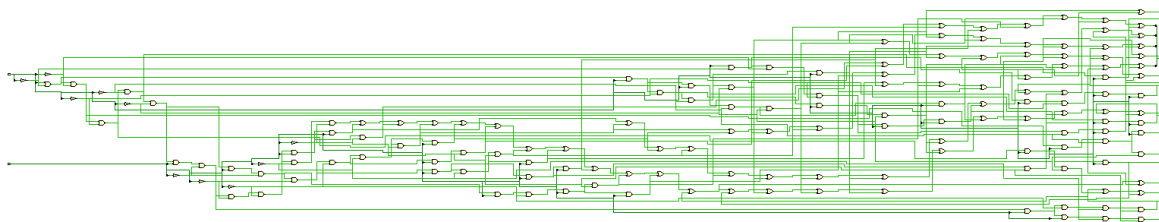


图 3-9 主控制器原理图

3.2 中断机制实现

3.2.1 单级中断实现

① 中断采样电路实现

中断采样电路的实现如图 3-10 所示，IR1 是中断请求寄存器，其中同步清零信号用于清楚中断请求信号。

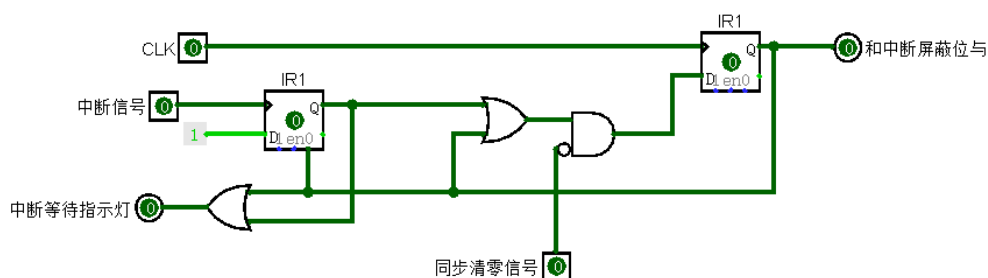


图 3-10 中断采样电路实现

② 中断逻辑电路实现

硬件需要完成中断识别、中断响应、中断返回三个过程。实验中采取独立请求的方式进行中断识别，来自中断请求寄存器(IR)的多个中断请求信号接入优先编码器，优先编码器根据响应优先级生成中断号，完成中断识别，并将优先编码器所有 IR 输入信号逻辑或后得到中断请求信号，与中断使能寄存器(IE)逻辑与后送 CPU，CPU 根据此信号判断是否进入中断处理流程。CPU 在收到中断请求信号后进入中断响应阶段，需要执行关中断、保存当前 PC 值到 EPC 寄存器，并将中断号对应的中断向量送 PC，进入中断服务过程。在收到 eret 信号后，需要重新开中断，并将 EPC 的值送 PC 回到中断点继续执行。中断逻辑电路的实现如图 3-11 所示。此外，PC 寄存器的输入端口需要增加一个多路选择器在中断返回时将 EPC 的值送入 PC，电路实现如图 3-12 所示。

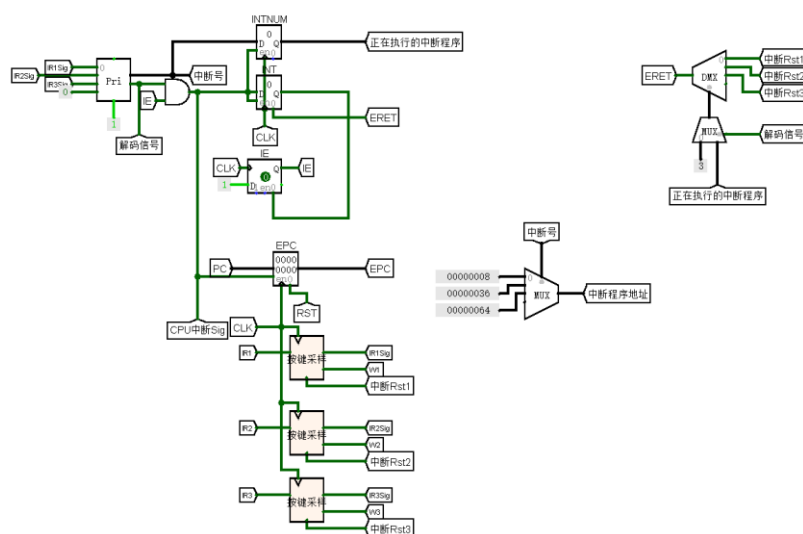


图 3-11 中断逻辑电路实现

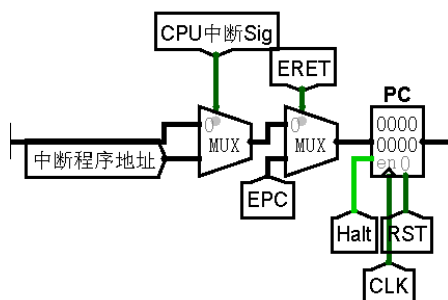


图 3-12 中断返回电路设计

3.2.2 多级中断实现

对于多级中断，需要在单级中断的基础上增加中断优先级判断逻辑来确定是否可以进行中断嵌套，可以增加寄存器来保存当前正在执行的中断的优先级，并增加比较器来比较优先级判断是否可以中断嵌套。此外还要增加 MFC0 和 MTC0 指令来保护 EPC 的值。多级中断的电路实现如图 3-13 所示。

3.3 流水 CPU 实现

3.3.1 流水接口部件实现

每一个流水接口应该包含时钟输入、使能端、同步清零端、数据输入端以及数据输出端。以 IF/ID 流水接口部件为例，其 logism 实现如图 3-16 所示。

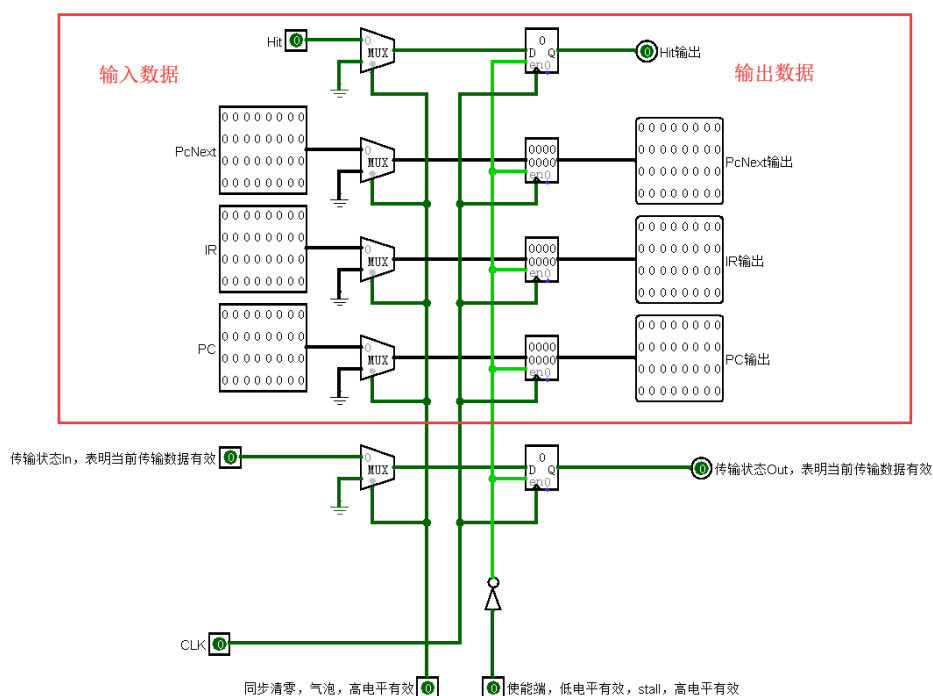


图 3-16 IF/ID 流水接口部件实现

3.3.2 理想流水线实现

理想流水线的实现则较为容易，只需将单周期 CPU 的实现拆分为 5 个不同的阶段即可。理想流水线的实现如图 3-17 所示。

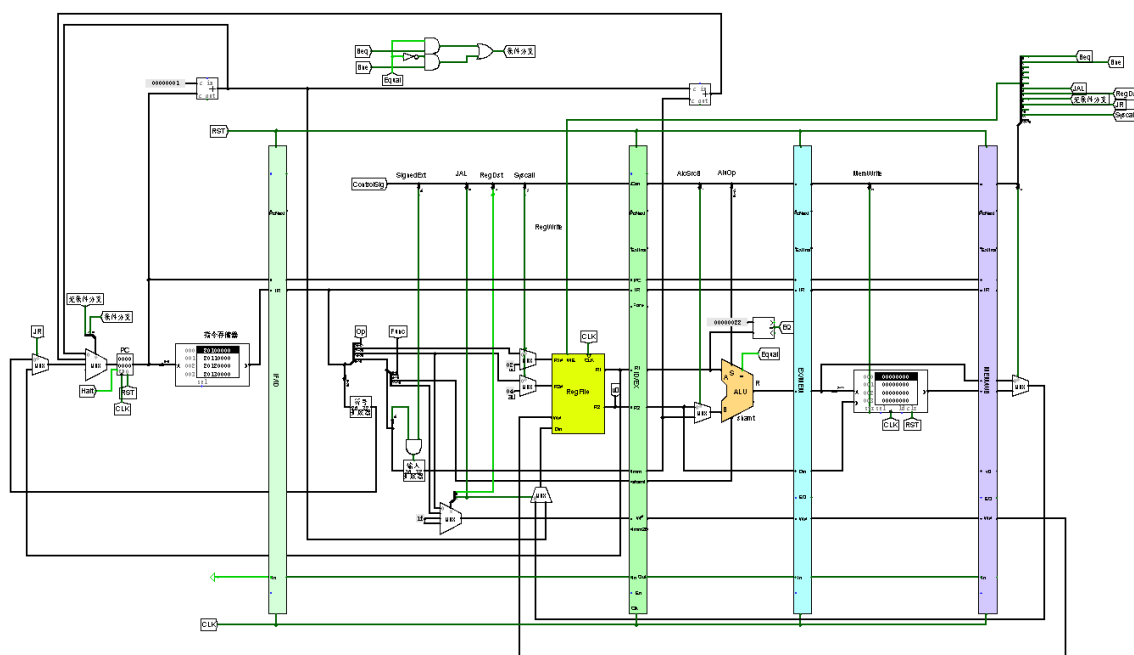


图 3-17 理想流水线实现

3.4 气泡式流水线实现

① 数据相关检测实现

气泡流水线在理想流水线上增加了逻辑电路进行数据冲突检测电路，如果发现数据冲突则通过硬件插入气泡的方式消除数据冲突，数据冲突的检测原理已经在设计中阐述过，其电路实现如图 3-18 所示。ID.X、EX.X、MEM.X 分别表示 ID 阶段、EX 阶段、MEM 阶段的信号，需要特别注意，电路中对 0 号寄存器进行了特殊判断的处理。

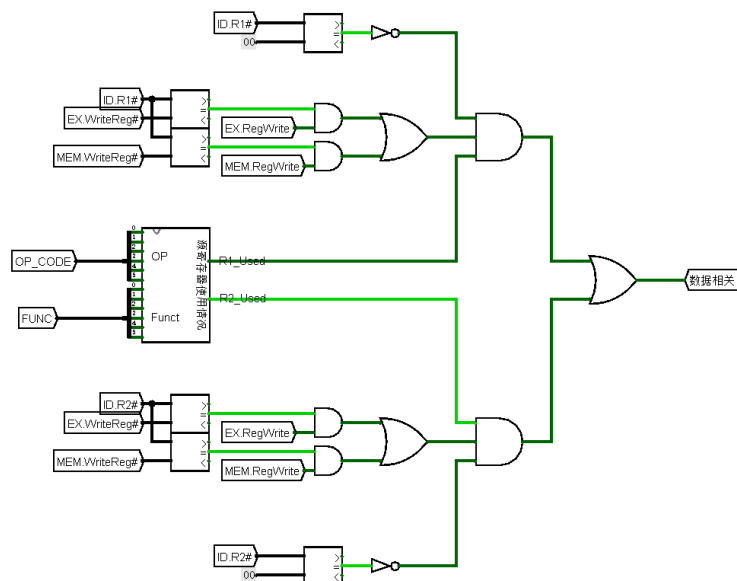


图 3-18 数据相关检测实现

② PC 寄存器改造

当产生数据相关需要插入气泡时，PC 寄存器需要暂停一个时钟周期，因此需要改造 PC 寄存器的使能端信号，即将数据相关信号取反后接入到 PC 的使能端，实现的电路如图 3-19 所示。

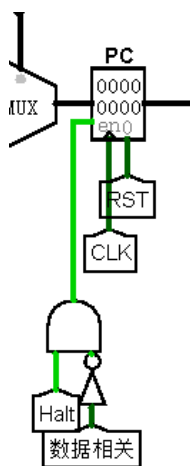


图 3-19 PC 寄存器改造

③ 流水接口部件改造

发生数据相关产生气泡时，需要置 IF/ID 流水接口部件的使能端为 0，同步清空 ID/EX 流水接口部件。数据相关信号需要成为 IF/ID 的流水接口部件使能信号以及 ID/EX 流水接口部件的清空信号，电路实现如图 3-20 和图 3-21 所示。

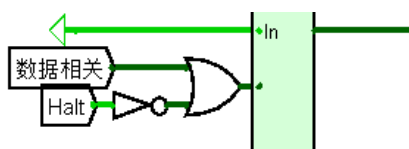


图 3-20 IF/ID 流水接口部件改造

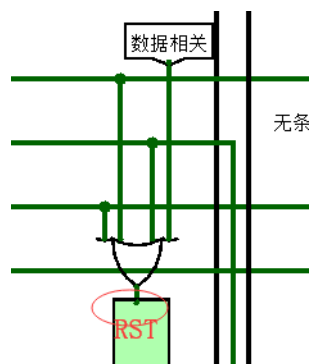


图 3-21 ID/EX 流水接口部件改造

④ 气泡流水线实现

华中科技大学课程设计报告

在完成气泡发生器的构造，控制器以及程序计数器的修改之后，需要将其整合进入理想流水线中，形成气泡流水线。最终气泡流水线的实现如图 3-22 所示。

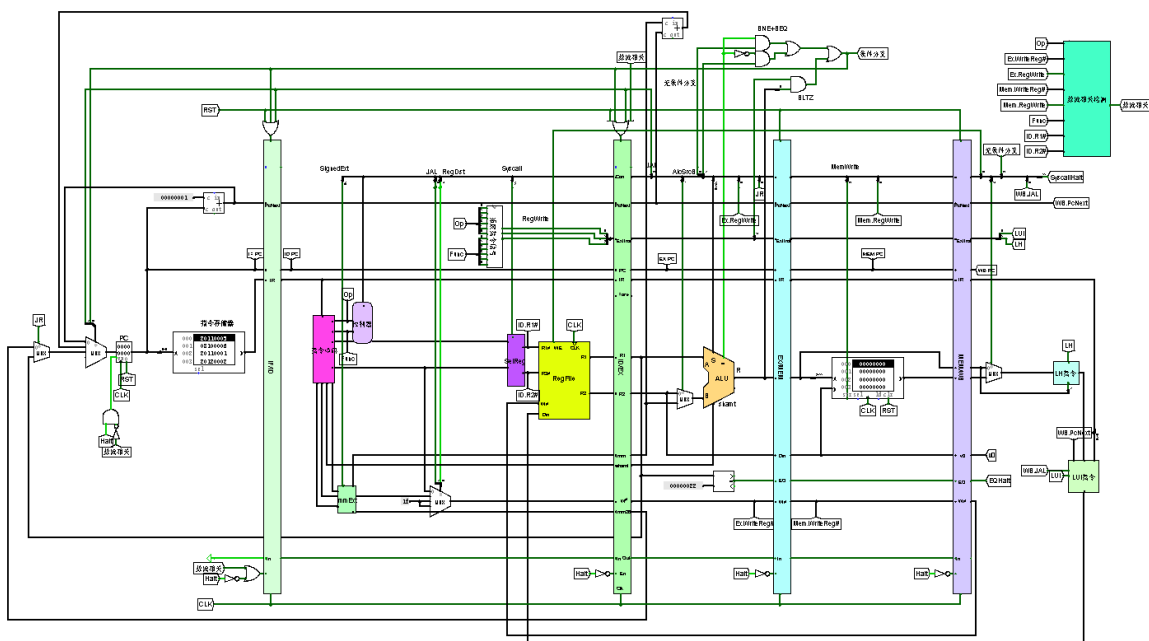


图 3-22 气泡流水线实现

3.5 重定向流水线实现

① 重定向相关检测实现

气泡流水线在理想流水线上增加了逻辑电路进行重定向相关检测电路，如果发现数据冲突则根据冲突类型生成 forward 数据，其电路实现如图 3-23 所示。ID.X、EX.X、MEM.X 分别表示 ID 阶段、EX 阶段、MEM 阶段的信号，需要特别注意，电路中对 0 号寄存器进行了特殊判断的处理。

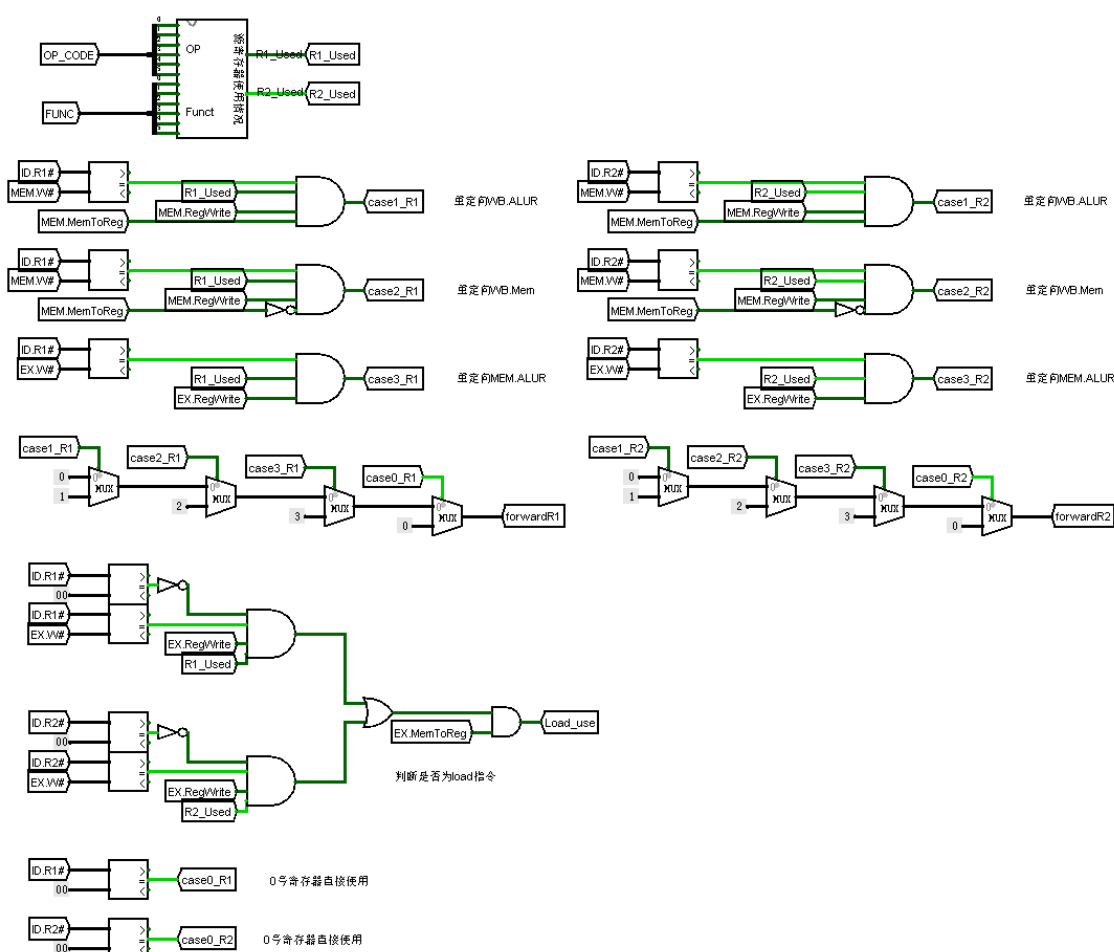
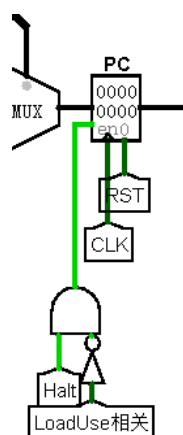


图 3-23 重定向相关检测实现

② PC 寄存器改造

当产生 load_use 数据相关时需要插入气泡时,PC 寄存器需要暂停一个时钟周期,因此需要改造 PC 寄存器的使能端信号,即将数据相关信号取反后接入到 PC 的使能端,实现的电路如图 3-24 所示。除此之外,与气泡流水线类似,IF/ID 的流水部件要暂停一个周期, ID/EX 流水部件要产生一个气泡。



华中科技大学课程设计报告

图 3-24 PC 寄存器改造

③ EX 阶段改造

在 ID/EX 流水接口部件的 R1、R2 处使用 4 选 1 的多路选择器的输出替换原来的 R1、R2，多路选择器的控制信号有重定向检测电路产生。电路实现如图 3-25 所示。

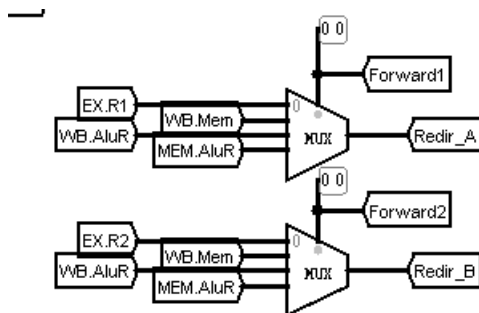


图 3-25 数据重定向

④ 气泡流水线实现

在完成气泡发生器的构造，控制器以及程序计数器的修改之后，需要将其整合进入理想流水线中，形成重定向流水线。最终重定向流水线的实现如图 3-26 所示。

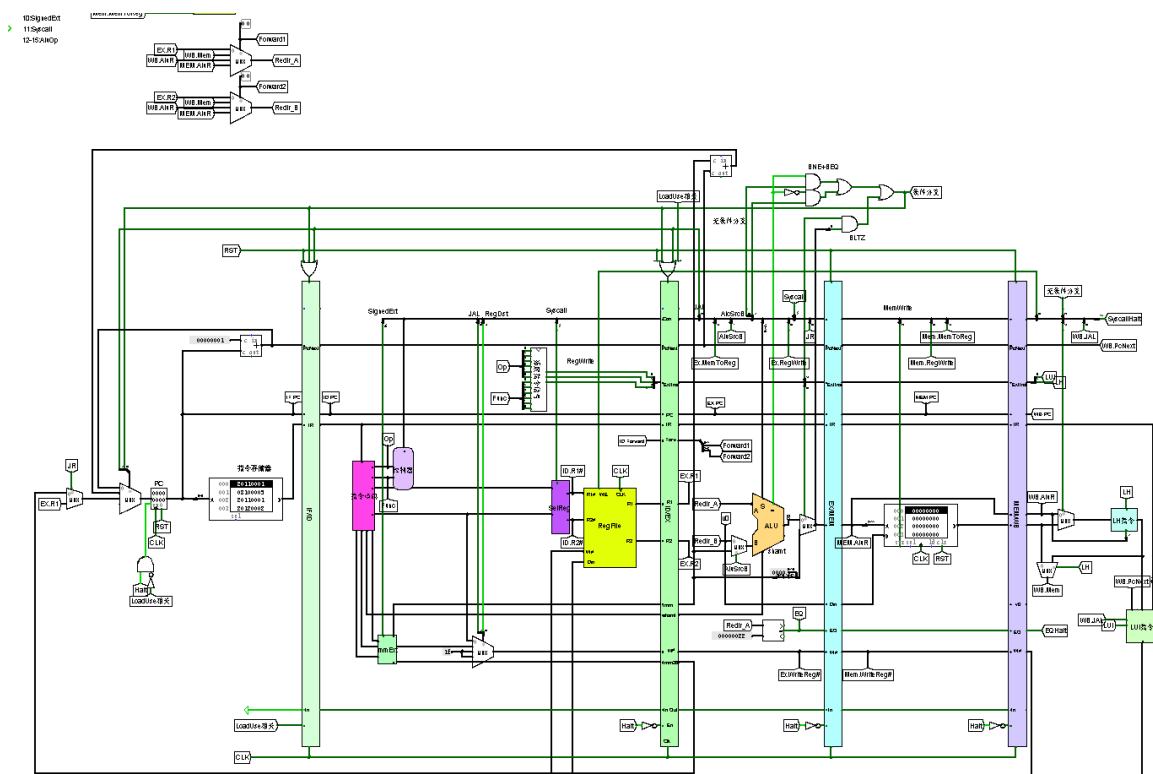


图 3-26 重定向流水线实现

3.6 动态分支预测机制实现

要实现分支预测，最重要的是 BHT 表的实现以及分支预测和替换规则的实现，其中 BHT 可以利用组成原理实验中完成的 Cache 组件，其电路图如图 3-27 所示：

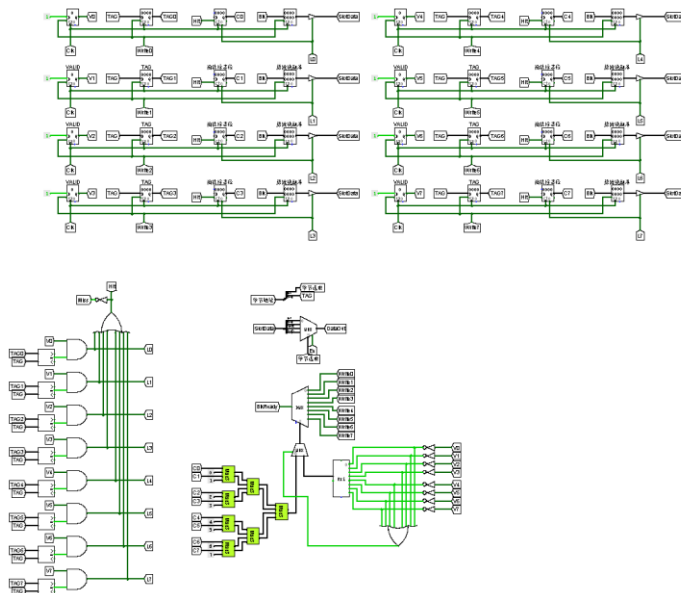


图 3-27 BHT 实现

在实现时 BHT 放在取指令阶段，利用 PC 的值作为关键字进行全相连比较，如果 BHT 命中，则表明当前指令是一条分支跳转指令，选择该表项中的分支目标地址作为新的 PC 值。当该指令执行到 EX 段时，判断是否预测正确，如果正确则继续执行，如果预测失败，则应该清空预取的指令。分支预测和替换规则的实现如图 3-28 所示

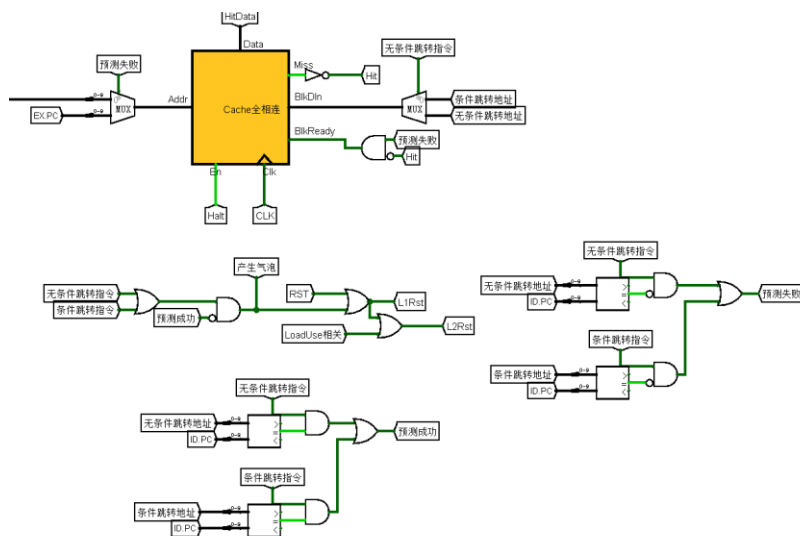


图 3-28 分支预测实现

4 实验过程与调试

4.1 测试用例和功能测试

4.1.1 benchmark 及 ccmb 指令测试

对重定向流水线 CPU 进行测试，在 benchmark 尾部添加 ccmb 指令的测试代码，然有使用 Mars 程序生成十六进制机器码，加载到指令存储器中进行执行。在测试阶段，程序正确通过了跑马灯、移位、排序等测试，测试完毕后，打开 Ram 查看排序结果，如图 4-1 所示，与理论降序排列结果一致。

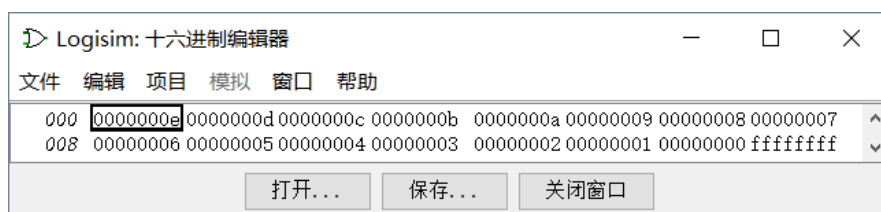


图 4-1 Ram 排序结果

程序运行完毕后，统计运行的周期数如图 4-2 所示，总周期数为 2297，无条件分支数为 38，条件分支数位 276，LoadUse 次数为 120，与理论结果一致。

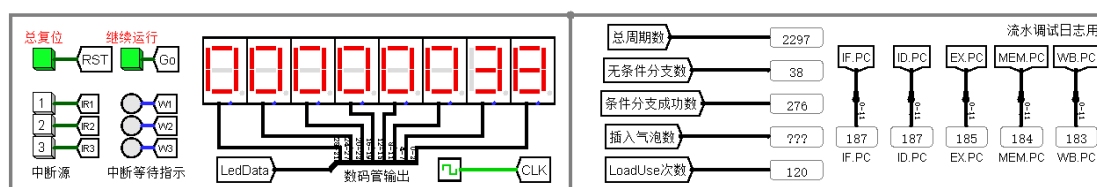


图 4-2 程序运行周期数

接下来按下 Go，依次观察 XOR 指令、LUI 指令、LH 指令、BLTZ 指令运行时数码管的数据，与预期相符，说明 CCMB 指令也通过了测试。

4.1.2 28 条单周期 MIPS CPU 仿真测试

在 vivado 中进行单周期 MIPS CPU 的仿真测试。仿真结果如图 4-3 所示，到达 syscall 暂停后，总周期数为 1546，有条件分支数为 276，无条件分支数为 38，与理论结果一致。

华中科技大学课程设计报告

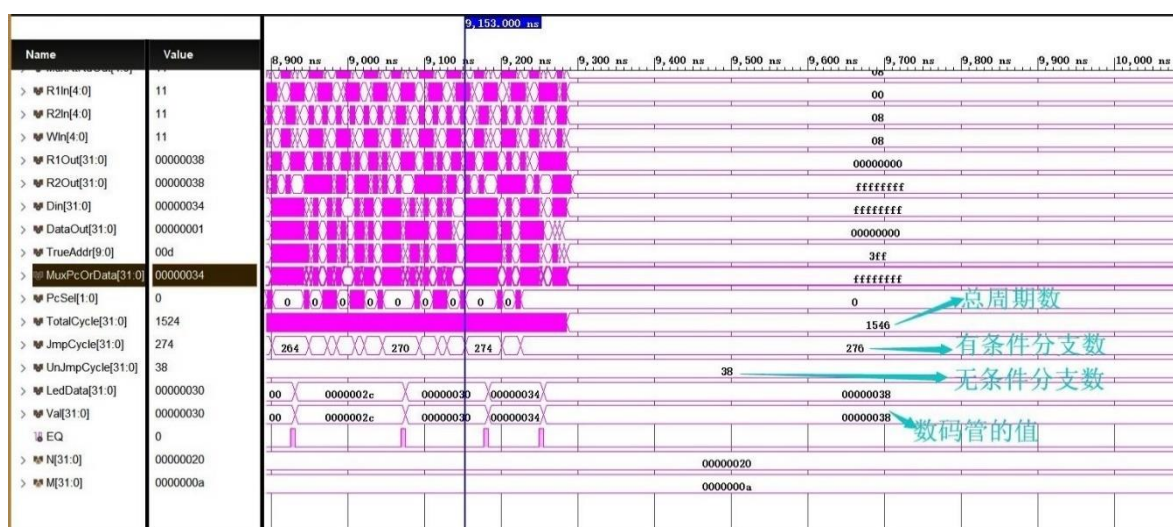
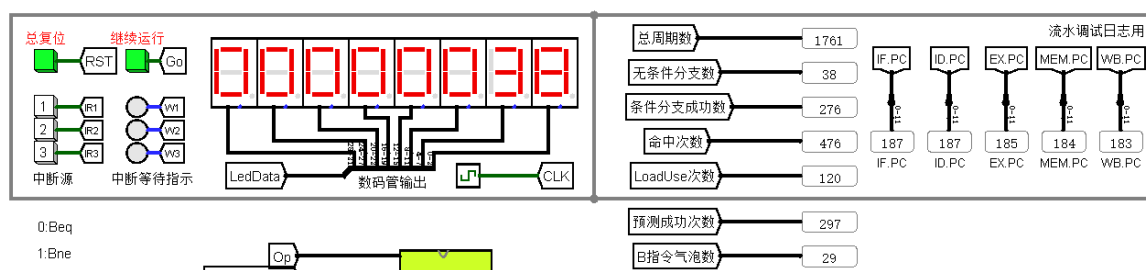


图 4-3 仿真结果

查看 RAM 的数据，结果如图所示，为降序排列，说明排序结果正确。

4.1.3 动态分支预测 CPU 测试

在动态分支预测 CPU 中载入 benchmark 程序，得到的运行结果如图所示。总周期数位 1761，相对于重定向流水线 2297 减少了 536 个周期。跳转指令设置在 EX 段执行，因此每命中成功一次就会减少 2 个周期的气泡，通过计数器可知预测成功了 297 次，除去 B 指令跳出时的 29 次，总共减少了 $2 \times (297 - 29) = 536$ 个周期。



4.1.4 中断测试

以多级中断为例，将中断测试程序载入到 Logism 的 Rom 中，其中中断处理程序 1 的测试代码如下：

```
addi $sp, $sp, -4    #入口地址 1
sw $v0, 0($sp)
addi $sp, $sp, -4
sw $a0, 0($sp)
```

华中科技大学课程设计报告

```
addi $sp, $sp, -4
sw $s0, 0($sp)
addi $sp, $sp, -4
sw $s3, 0($sp)
addi $sp, $sp, -4
sw $s4, 0($sp)
addi $sp, $sp, -4
sw $s5, 0($sp)
addi $sp, $sp, -4
sw $s6, 0($sp)
mfc0 $s2, $0      #保护 EPC
addi $sp, $sp, -4
sw $s2, 0($sp)
addi $s6, $zero, 1      #中断号 1,2,3    不同中断号显示值不一样
addi $s4, $zero, 6      #循环次数初始值
addi $s5, $zero, 1      #计数器累加值
IntLoop1:
add $s0, $zero, $s6
IntLeftShift1:
sll $s0, $s0, 4
or $s3, $s0, $s4
add $a0, $0, $s3      #display $s0
addi $v0, $0, 34      # display hex
syscall              # we are out of here.
bne $s0, $zero, IntLeftShift1
sub $s4, $s4, $s5      #循环次数递减
bne $s4, $zero, IntLoop1
addi $v0, $zero, 10      # system call for exit
lw $s2, 0($sp)
addiu $sp, $sp, 4
```


华中科技大学课程设计报告

```
mtc0 $s2,$0#恢复 EPC
lw $s6,0($sp)
addiu $sp,$sp,4
lw $s5,0($sp)
addiu $sp,$sp,4
lw $s4,0($sp)
addiu $sp,$sp,4
lw $s3,0($sp)
addiu $sp,$sp,4
lw $s0,0($sp)
addiu $sp,$sp,4
lw $a0,0($sp)
addiu $sp,$sp,4
lw $v0,0($sp)
addiu $sp,$sp,4
eret                # 中断返回
```

依次按下 1 号键、2 号键、3 号键，程序依次进入中断处理程序 1、2、3，当中断处理程序 3 执行完毕后，再次按下 3 号键，此时中断处理程序 2 会被中断处理程序 3 中断。多级中断的执行状态如图 4-4 所示：

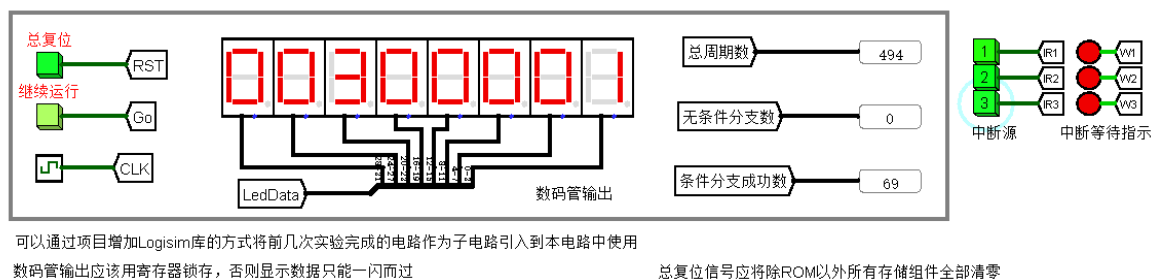


图 4-4 多级中断测试

4.2 性能分析

单周期 CPU 的时钟周期数最短，是 1546，但是时钟频率较低，经过验证可以上板的最高频率是 25MHz。为了提高时钟频率，设计了气泡流水线 CPU，由于数据冲

华中科技大学课程设计报告

突需要插入气泡,时钟周期数为3624。为了缩短时钟周期,设计了重定向流水线CPU,在保证了较高的时钟频率下时钟周期数缩短为2298。然后在重定向流水线CPU的基础上增加了动态分支预测部件,使时钟周期数缩短为1762。

4.3 主要故障与调试

4.3.1 数码管显示错误

单周期CPU上板: 数码管显示问题。

故障现象: 数码管显示乱码

原因分析: 通过查阅 NexysDDR 的文档,如图图 4-5,数码管的显示和选择均是低电平有效,在之前设计时默认了高电平有效,导致了显示乱码。

To illuminate a segment, the anode should be driven high while the cathode is driven low. However, since the Nexys4 DDR uses transistors to drive enough current into the common anode point, the anode enables are inverted. Therefore, both the AN0..7 and the CA..G/DP signals are driven low when active.

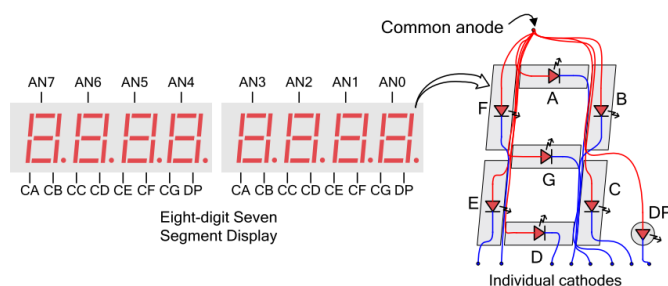


图 4-5 NexysDDR 文档

解决方案: 对 An 和 Seg 的驱动取反。以 An[0]和 Seg[0]为例,修改后的代码为:

```
//Pattern 模块
4'b0000: Patt=8'b11000000;//Seg[0]
//Decoder3_8 模块
3'b000: Sel=~8'b00000001;//An[0]
```

4.3.2 Rom 模块错误

单周期CPU上板: Rom 模块取出的数据延时一个周期。

故障现象: 如图 4-6 所示, 在输入地址是 1 的时候取出的是地址为 0 的指令, 在输入地址是 2 的时候取出的是地址为 1 的指令。指令被延时了一个周期才取出。

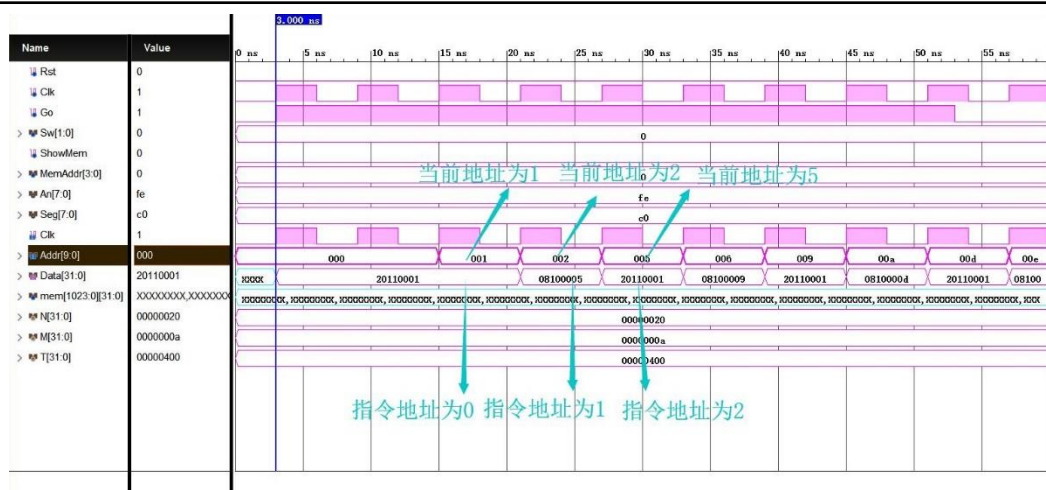


图 4-6 Rom 模块程序故障图

原因分析：在使用 verilog 实现 Rom 模块时，采用了 always 和 clk 触发的方式，这将导致数据被延时一个周期取出。错误的代码如下：

```
always @(posedge Clk)
begin
    Data=mem[Addr];
end
```

解决方案：采用 assign 语句实现 Rom，修改后的代码如下：

```
assign Data=mem[Addr];
```

4.3.3 连线错误

单周期上板：主模块连线错误。

故障现象：如图 4-7，无条件跳转指令的目标地址是有 26 位有符号数拓展得到的，在连接模块时将 26 位有符号数错写成了 16 位有符号数，导致了无条件跳转指令错误。

```
/*立即数拓展*/
BitExpander #(.M(16),.N(32)) Imm16Exp(Imm16, Imm16To32, SignedImm16); //16位立即数拓展
BitExpander #(.M(26),.N(32)) Imm26Exp(Imm16, Imm26To32, 1'b1); //26位立即数符号拓展
```

图 4-7 连线故障

解决方案：将 Imm16 修改为 Imm26 即可。

4.3.4 重定向错误

重定向流水线(logism)：重定向数据错误。

华中科技大学课程设计报告

故障现象：程序运行错误。

原因分析：如图 4-8 所示，在执行到某一条指令时应该重定向 WB.AluR 的数据，但是却重定向了 MEM.AluR 的数据，猜测选择信号错误。复查重定向检测模块，发现检测发生在 ID 阶段，而执行发生在 EX 阶段，延后了一个周期。

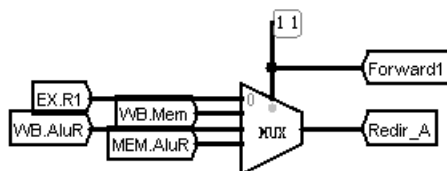


图 4-8 重定向故障

解决方案：将重定向信号经过流水由 ID 阶段传输到 EX 阶段使用，修改后的电路图如图 4-9 所示。

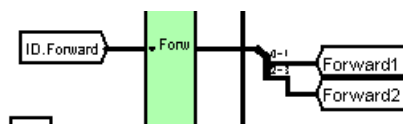


图 4-9 重定向故障解决方案

4.3.5 动态分支预测错误

动态分支预测(logism)：数据无法命中。

故障现象：写入到 BHT 中的数据无法命中。

原因分析：如图 4-8 所示，由于 PC 寄存器的宽度为 10 位，因此在比较 PC 值时只需比较低 10 位，而不应该比较 32 位。

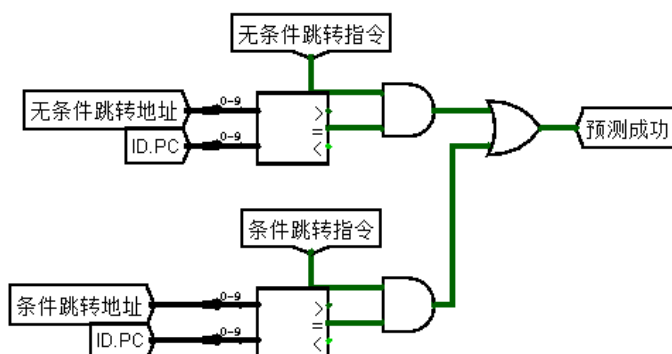


图 4-10 重定向故障

解决方案：如图 4-8 所示，将比较器的位数修改为 10 位，只比较低 10 位的数据即可。

华中科技大学课程设计报告

4.4 实验进度

表 4-1 课程设计进度表

时间	进度
第一天	阅读课设任务书，阅读 MIPS 指令手册，开会商议了 24 条指令上板方案设计，进行了模块分工以及基本原件的 verilog 代码封装。
第二天	完成基本模块的数据通路的联通，调试数据通路存在的 bug，修改通路消除 warning 使得数据通路更加健壮。
第三天	完成 24 条指令单周期 CPU 上板，在此基础上修改数据通路完成 28 条指令 CPU 上板。
第四天	查阅流水线的相关知识，在 logism 平台上完成了理想流水线数据通路的构建，并通过测试代码。
第五天	查阅分支流水线的相关知识，在 logism 平台上完成了分支流水线数据通路的构建，并通过测试代码。
第六天	查阅气泡流水线的相关知识，在 logism 平台上完成了气泡流水线数据通路的构建，并通过测试代码。
第七天	查阅动态分支预测的相关知识，在 logism 平台上完成了动态分支通路的构建。
第八天	调试动态分支预测电路，并通过测试代码。
第九天	查阅单级中断的相关知识，在 logism 平台上完成了气泡流水线数据通路的构建，并通过测试代码。
第十天	查阅多级中断和流水中断的相关知识，在 logism 平台上完成了多级中断和流水中断的数据通路，并通过测试代码。

5 设计总结与心得

5.1 课设总结

本次课程设计从单周期 MIPS CPU 开始,采取循序渐进的方式实现了从单周期 CPU 到 5 段流水 CPU 的实现,在这个过程中具体做了如下的工作::

- 1) 实现了 Logism 平台的单周期 CPU、理想流水线 CPU、气泡流水线 CPU、重定向流水线 CPU、支持单级中断和多级中断的单周期 CPU、支持分支预测的重定向流水线 CPU。
- 2) 设计并完成了单周期 CPU 的上板验证。
- 3) 实现了支持 24 条基本指令和 4 条 CCMB 拓展指令的 5 段流水线 CPU。

5.2 课设心得

组成原理课程设计是所有课程设计中较难的也是最有意思的课程设计,回想起来,我用了 10 天的时间,完成了从单周期 CPU 到 5 段流水线 CPU 的实现,让我颇有成就感,在实验的过程中我也学到了许多东西,也极大的增强了我的团队协作能力。

课程设计的第一个任务是在 logism 平台上搭建 28 条单周期 CPU,此任务是在寒假布置的,时间充足,再加上上学期的实验中已经实现过单周期的 CPU,因此实现过程较为顺利。紧接着,单周期上板是小组合作完成,在开始实现之前我们进行了组内讨论,规划设计方案,进行任务分配,使用驼峰命名法的编程风格,并对子模块的接口进行了设计。在每个人实现并测试了负责的子模块之后,均交给组内的另外一个人再次进行测试,以保证子模块的正确性。总体来说,组内成员每个人各司其职,相互配合,花费了 3 天完成了单周期 CPU 的上板。接下来是流水 CPU,结合 Mooc 的实验介绍实现中也没有遇到特别的困难。其次是动态分支预测功能,由于主要模块 BHT 可以直接利用上学期实验中的 Cache 模块,因此实现过程较为顺利。最后是中断功能,一开始测试程序忘记添加保存寄存器的代码,导致了程序运行错误,修改之后通过了测试。

对于本次实验,我有两点建议:第一,实验可以和汇编课程结合起来,让同学们编写自己的程序,在自己设计的 CPU 上运行,即可加深对两个课程的理解,也可以

华中科技大学课程设计报告

增强同学们的成就感。第二，在实现单周期 CPU 上板时组员相互协作很紧密，但是在后续的实验中组员的交流越来越少，希望可以增加后续实验的协作性，提升团队协作能力。

华中科技大学课程设计报告

参考文献

- [1] DAVID A. PATTERSON(美). 计算机组成与设计硬件/软件接口(原书第4版). 北京: 机械工业出版社.
- [2] David Money Harris(美). 数字设计和计算机体系结构(第二版). 机械工业出版社
- [3] 秦磊华, 吴非, 莫正坤. 计算机组成原理. 北京: 清华大学出版社, 2011 年.
- [4] 谭志虎, 秦磊华, 胡迪青. 计算机组成原理实践教程. 北京: 清华大学出版社, 2018.
- [5] 袁春风编著. 计算机组成与系统结构. 北京: 清华大学出版社, 2011 年.
- [6] 张晨曦, 王志英. 计算机系统结构. 高等教育出版社, 2008 年.

• 指导教师评定意见 •

一、原创性声明

本人郑重声明本报告内容，是由作者本人独立完成的。有关观点、方法、数据和文献等的引用已在文中指出。除文中已注明引用的内容外，本报告不包含任何其他个人或集体已经公开发表的作品成果，不存在剽窃、抄袭行为。

特此声明！

作者签字：

